

# 太行山中段的焚风

赵世林 王荣科 郭彦波 谭建龙 石志增

(河北石家庄地区气象局 050081)

## 提 要

统计分析1956—1990年资料,得出了太行山中段焚风的月、日变化,给出了焚风的天气学模型。讨论了该地焚风与西风及太行山地形的关系,分析了该地焚风形成机制,指出了与前人所给出的焚风机制的差异。

**关键词:** 太行山中段 焚风 天气学模型 形成机制

## 引 言

太行山中段东麓的焚风,是本地气候的一个显著特征,对工农业生产人民生活都有一定影响。冬末早春的焚风,给人们带来温暖,可使积雪融化,土壤解冻,物候期提前;夏初的焚风,可使干旱加剧,使冬小麦灌浆和腊熟过程加快,造成通熟减产;干旱季节的焚风,如遇火源,极易蔓延,酿成火灾。据统计,石家庄春季城市和森林重大火灾43%与焚风有关。

通过对石家庄1956—1990年焚风的气候和典型个例分析,初步得到以下结果。

## 1 焚风的一些统计事实

### 1.1 焚风标准

太行山中段为南北走向,当气流与太行山垂直时即风向在 WSW—WNW 范围内,风速 $\geq 2.0 \text{ m.s}^{-1}$ ,10分钟升温 $3^{\circ}\text{C}$ ,或半小时升温 $\geq 5^{\circ}\text{C}$ 为一次焚风过程。

### 1.2 焚风的年、季变化

统计近35年资料表明,石家庄年平均焚风为18.2天,最多的1966年为49天,1990年最少仅出现9天,年际间起伏波动较大,60年代后有逐年减少的趋势(图略)。

焚风的季节变化和冷空气活动路径有关。夏季,太平洋为高压,大陆为低压,东高西低的气压场,盛行偏南风,因而焚风出现几率最小;冬季,晚秋和早春,大陆常受冷高压控制,盛行西北风,故焚风出现几率最大(见表1)。

表1 各季焚风出现次数(1956—1990)

|      | 春   | 夏  | 秋   | 冬   |
|------|-----|----|-----|-----|
| 出现次数 | 189 | 35 | 167 | 246 |

### 1.3 焚风的月际变化

10月份副高退出大陆,北方冷高压开始不断南下,西北路冷空气前锋可以到达 $35^{\circ}\text{N}$ 以南,冬季风完全控制华北,焚风次数明显增多,到1月份焚风次数最多达2.7次(图1)。2—4月虽盛行西北气流,但偏东路径的冷空气增多,西和西北路径冷空气减少,地面上北高南

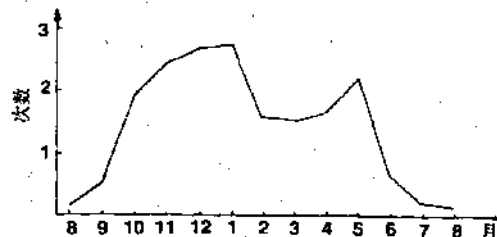


图1 石家庄焚风月际变化(1956—1990)

低的气压场不利于焚风出现。

进入4月下旬至5月份,蒙古低压发展,华北出现南高北低的气压场,盛行偏西气流,是产生焚风的另一种天气形势。故5月份焚风又呈上升趋势。焚风的月际变化,总体上与季风有关,而各月之间的差异又与冷空气路径、地面气压场有关。

#### 1.4 梦风的日变化

表2给出了各时段焚风出现几率,由表2可见,焚风的日变化非常明显,90%出现在夜间,显然与太行山东侧局地热力环流和地形的动力作用有关。夜间,太行山东侧受山风影响,多为下山风(西北风)与焚风风向基本一致,因而焚风出现次数最多。白天受热力环流影响,气流沿山坡上升,低层吹东南风,而且越接近中午,风力越大,风向与焚风风向相反,故在低层焚风现象被抵消和抑制,焚风次数明显减少。当地流传着“西风怕晒”的谚语,科学而生动地解释了这一现象。但是当偏西风强度大于低空东南风时,焚风仍然可以出现;1979年1月6日14时出现焚风即是一例。

表2 各时段焚风出现几率(1956—1990)

| 时间/时 | 20—08 | 08—20 | 24—07 | 08—23 | 11—19 |
|------|-------|-------|-------|-------|-------|
| 出现次数 | 1210  | 133   | 962   | 381   | 36    |
| 几率   | 90%   | 10%   | 72%   | 28%   | 3%    |

## 1.5 楚风的垂直和水平分布

根据对10次焚风个例统计得出：如以增温 $>4^{\circ}\text{C}$ 为显著界限，则焚风增温的垂直高度平均为1500m，这与太行山中段的海拔高度相近（图略）。

焚风增温的水平范围与焚风风速和持续时间有关。如1984年11月30日，焚风平均风速为 $6.8 \text{ m.s}^{-1}$ ，持续14小时，增温范围到达盐山县(距太行山254km)；1980年1月23日，焚风平均速度 $2.1 \text{ m.s}^{-1}$ ，持续4.5小时，增温范围35km。根据焚风平均风速乘以持续时间得到的距离，与焚风增温实际波及范围(按温度变量确定增温最不明显处的界限，计算其到

太行山的距离),从图2可以看出,两者有较显著的相关,其相关系数为0.84。

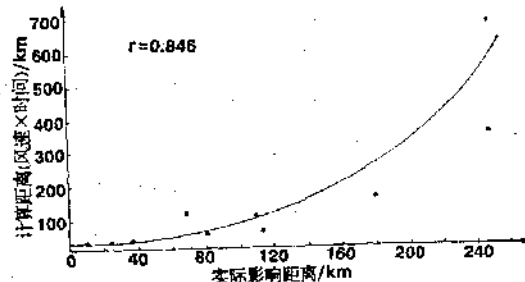


图2 焚风风速持续时间与焚风增温范围

为了揭示焚风增温的效应,将 $110^{\circ}-118^{\circ}\text{E}$ 之间沿 $38^{\circ}\text{N}$ 地形剖面上,各站1月、12月平均气温,寿阳至各站气温直减率与订正到海平面气温(图3、4)相比较可以看出:阳泉、井陉、获鹿、石家庄是同纬度温度最高处,显然也是焚风作用最强区,阳泉处于东西向

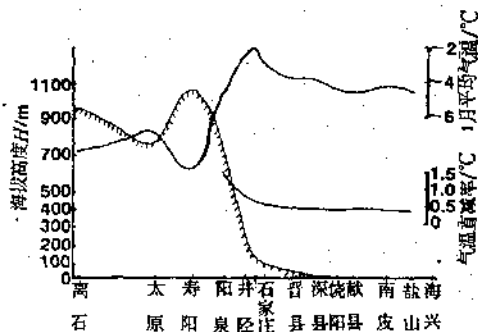


图3 沿38°N1月平均气温及寿阳至各站温度直减率分布图

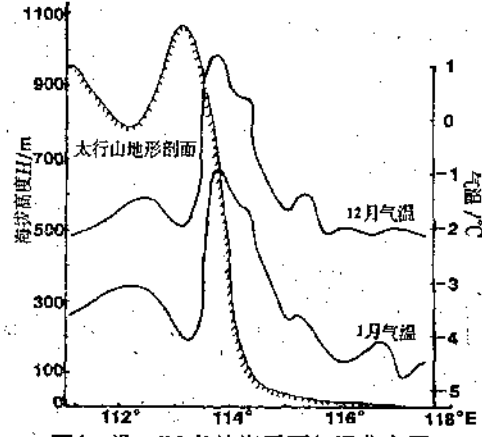


图4 沿38°N各站海平面气温分布图

河谷之中，加之小地形作用，使其冬季气温最高。饶阳以东气温曲线趋向平直。

气温直减率，以寿阳至阳泉最大，达 $1.47^{\circ}\text{C}/100\text{m}$ ，到饶阳附近降至 $0.42^{\circ}\text{C}/100\text{m}$ ，接近平直。

将1月、12月各站温度订正至海平面（直减率按 $0.45^{\circ}\text{C}/100\text{m}$ 计算）后，可以看出太行山的寿阳至石家庄坡度最大，而这一段增温值尤为明显，至饶阳到献县段坡度趋于平缓，温度线亦趋向平直。

综合上述分析，可以认为太行山中段，焚风效应是明显的，焚风增温波及的范围大致达 $116^{\circ}\text{E}$ 附近，距太行山约1.5—2个经度（约 $130$ — $170\text{km}$ ）。

### 1.6 有关太行山中段焚风的一些平均值和极值

统计近35年焚风资料得出，焚风时温度、湿度、风的平均值、极值如下：

温度：

10分钟平均增温值 $4.0^{\circ}\text{C}$ ；10分钟最大增温值 $13.1^{\circ}\text{C}$ （1990年12月21日）；30分钟最大增温值 $13.5^{\circ}\text{C}$ ；过程最大增温值 $17.0^{\circ}\text{C}$ 。

湿度：

10分钟平均相对湿度下降值34%；10分钟相对湿度下降最大值52%；30分钟相对湿度下降最大值61%。

风：

10分钟平均风速 $3.8\text{m}\cdot\text{s}^{-1}$ ；10分钟平均最大风速 $23.0\text{m}\cdot\text{s}^{-1}$ 。

## 2 太行山中段焚风天气形势模型

根据焚风天气分析事实，归纳总结出太行山中段焚风天气形势模型（如图5）。

太行山焚风出现时，石家庄西部高空为一深厚的冷槽， $700$ — $500\text{hPa}$ 冷平流明显， $850\text{hPa}$ 以上多为较强的西北气流。风速皆在 $8\text{m}\cdot\text{s}^{-1}$ 以上， $500\text{hPa}$ 风速 $>12\text{m}\cdot\text{s}^{-1}$ ，地面图上太行山东麓（背风坡）有地形槽（几率为83%），太行山西侧（迎风坡）为高压脊，高压脊与地形槽之间东西向气压梯度在焚风出现

时多为逐渐增大趋势，据统计，延安至石家庄气压差多在 $6$ — $18\text{hPa}$ 之间。

焚风时探空曲线表现为：近地面有一浅薄的逆温层，显然这是地面冷却和下沉增温共同作用的结果。 $300\text{m}$ 以上 $\gamma$ 与 $\gamma_d$ 接近平行， $T-T_d$ 值增大，一般在 $1.5\text{km}$ 处有一明显转折，反映了焚风增温的高度变化。

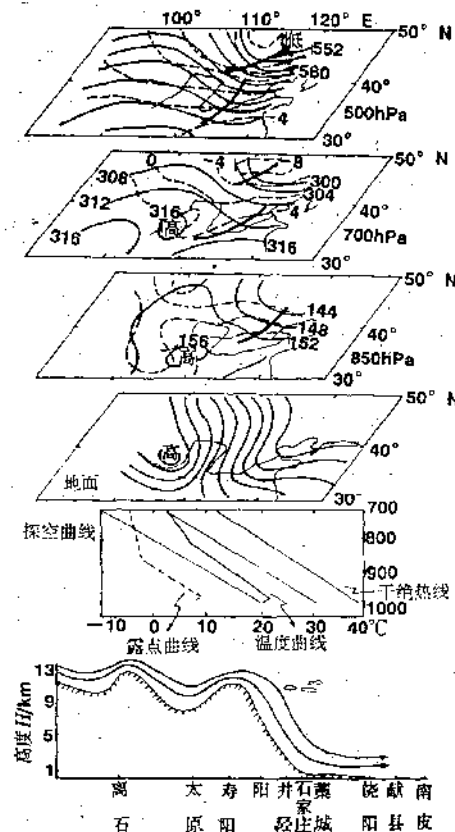


图5 太行山焚风模型

分析 $38^{\circ}\text{N}$ 地面各站风和温度变化可以看出焚风的变化过程：当西来锋面移过阳泉时，阳泉首先开始增温，之后“干暖锋”逐渐向东传。到达石家庄时，先从 $500\text{m}$ 处增温，而后下传。据统计，石家庄出现焚风前，风速多有一“静稳”阶段（几率为89%），静风之后转西风，随着风速增大同时出现气温突升，湿度骤降过程。尔后，又趋于平缓，这可以解释为：太行山顶部( $Z_H$ 处)气温为 $T_H(t)$ ，是随形势而变化的，设焚风前 $Z_H-Z_0$ 之间递减

率为 $\gamma$ ( $\gamma < \gamma_d$ ),当吹西风时 $Z_H$ 处气块沿干绝热线下降到 $Z_0$ 处的温度为 $T'_0 = T_H(t) + \gamma_d \cdot H$ ,西风到达 $Z_0$ 点时温度变化为: $\Delta T_1 = T'_0 - T_0 = (T_H(0) + \gamma_d \cdot H) - (T_H(0) + \gamma_H) = H(\gamma_d - \gamma)$ ,则 $Z_0$ 点出现焚风现象,在温度计上表现为温度骤升。 $Z_H - Z_0$ 之间层结曲线 $\gamma$ 也逐渐趋于 $\gamma_d$ 。当继续吹西风时, $Z_0$ 处温度变化 $\Delta T_2 = T'_0 - T_0 = \Delta T_H(t) + H(\gamma_d - \gamma)$ 。由于 $\gamma \approx \gamma_d$ ,则 $\Delta T_2 \approx \Delta T_H(t)$ 。就焚风天气形势而言, $T_H(t)$ 是少变化的, $\Delta T \approx \Delta T_H(t) \approx 0$ 。因此温度自己在焚风开始时表现为突增,而后趋于平稳少变。

当风向与山脊不正交时(即风向超出 $WSW-WNW$ ),焚风过程结束。

表3是焚风出现前与焚风时气象要素变化比较,从中可以看出两者的显著差异。

表3 焚风前后气象要素变化(1987年2月6日4—14时出现焚风天气)

|            | 焚风前(时间)       | 焚风日(时间)       |
|------------|---------------|---------------|
| 日平均气温/℃    | 1.4(5日)       | 8.3(6日)       |
| 最高气温/℃     | 9.7(5日)       | 17.8(6日)      |
| 日照/小时      | 7.7(5日)       | 9.2(6日)       |
| 蒸发量/mm     | 2.0(5日)       | 7.3(6日)       |
| 冻土深度/cm    | 24.0(5日)      | 21.0(6日)      |
| 风向风速/m·s⁻¹ | NE 1(6日02时)   | WNW 5(6日05时)  |
| 相对湿度/%     | 61%(6日02时)    | 5%(6日14时)     |
| 能见度/km     | 6.0(6日02时)    | 35.0(6日20时)   |
| 气压/hPa     | 1011.8(5日05时) | 1006.4(6日05时) |

根据多年的观测事实,当焚风出现时,远望太行山景物清晰异常,能见度可达30km以上,在距山麓5km以内由于气流下沉(自由大气在背风坡产生的波动)而出现荚状云,这种云处于不断形成和不断消失的过程,看上去静止不动,很少变化。

许多文献对焚风的热力学解释为“湿空气在迎风坡抬升,冷却、成云、降水、凝结过程释放潜热,使山顶空气变暖,气流过山沿背风坡下降时,绝热增温,从而空气就比同一层迎风坡上暖”。我们统计了18次焚风个例中发现16次焚风过程在太行山西侧并无降水,可见

太行山焚风在迎风坡凝结加热过程并不是必要的。因为造成焚风的高压是来自干燥的蒙古高原,本身所携带的水汽极少,与阿尔卑斯山北麓的焚风不能相比。也可以从太行山并非孤立的山脉来解释:即太行山西侧与吕梁山、山西高原相连,高度皆在1000m以上,中间虽有汾河、黄河河谷贯穿南北,但气流经过起伏的山地落差不大,只有过太行山后落差才明显加大,可见下沉增温是重要的。

### 3 太行山中段焚风在专业气象服务中的应用

石家庄地区处于太行山脉东麓,太行山的焚风现象对石家庄的气候有举足轻重的作用,并对工农业生产和日常生活带来一定影响。由于焚风是突发性能量,它的出现往往打破一般的天气和气候状态。其影响利弊参半。随着工农业的发展,科技的进步以及城市采暖的增多,焚风这一天然资源开始引起关注。农业方面可利用焚风造成的自然暖带,发展保护地蔬菜栽培。制砖业,仓库和集中供热等部门利用其高温、低湿的特点提高经济效益。据统计石家庄市在冬季采暖期平均有9个焚风日,如果焚风日停供或减供暖气,每年可节约煤3万多吨。而正是这种高温低湿和风大的特点又利于火灾的发生,并给火灾的扑救增加了难度。5月下旬至6月上旬的焚风又是造成小麦减产的重要原因。此外焚风与人体健康也有一定关系,在调查访问中亦证实当焚风来临时,人们有烦躁不安和口鼻干燥难受的感觉。

总之,探讨焚风的形成机制,提高预报准确率,并探讨焚风对各行各业的影响,进而达到趋利避害,亦属势在必行。

### 参考文献

- 林之光. 地形对我国冬季气温的影响. 气象科技集刊(气象科学研究院), 1981.
- BW 阿特金森. 大气中尺度环流. 北京: 气象出版社.
- (英)Roger Gbarry. 山地气候和天气. 北京: 气象出版社.

(下转第29页)

(上接第6页)

# The Foehn in the Middle Range of Taihang Mountain

Zhao Shilin Wang Rongke Guo Yanbo Tan Jianlong Shi Zhizeng

(Shi Jiazhuang Prefecture Meteorological Bureau, Hebei Province)

## abstract

Based on the meteorological data of 35 years, a foehn model in the middle range of Taihang Mountain is given. The relationship between the foehn and west wind and the terrain is discussed.

**Key words:** the middle range of Taihang Mountain foehn synoptic model formation mechanism